



1/23

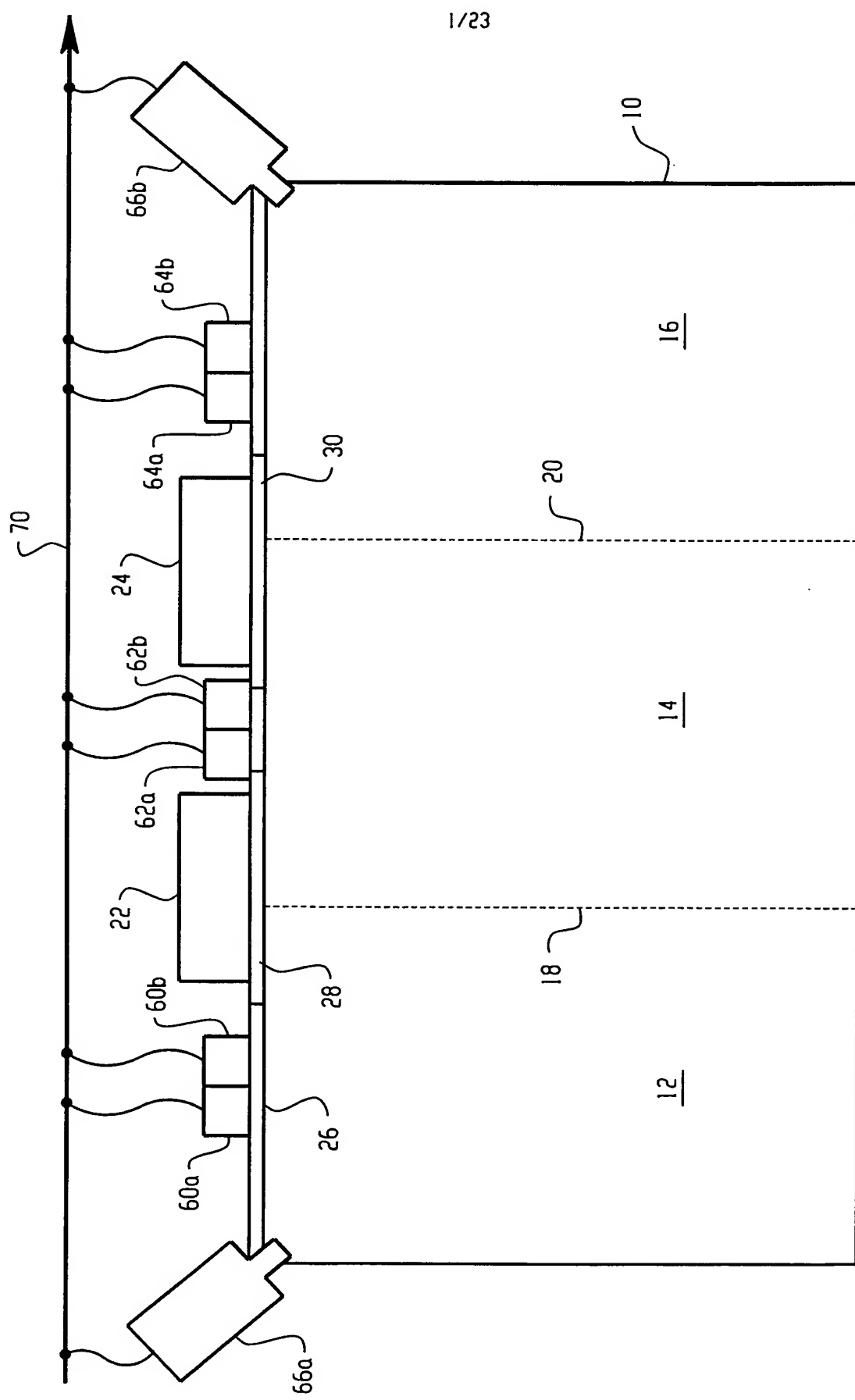


Fig. 1

2/23

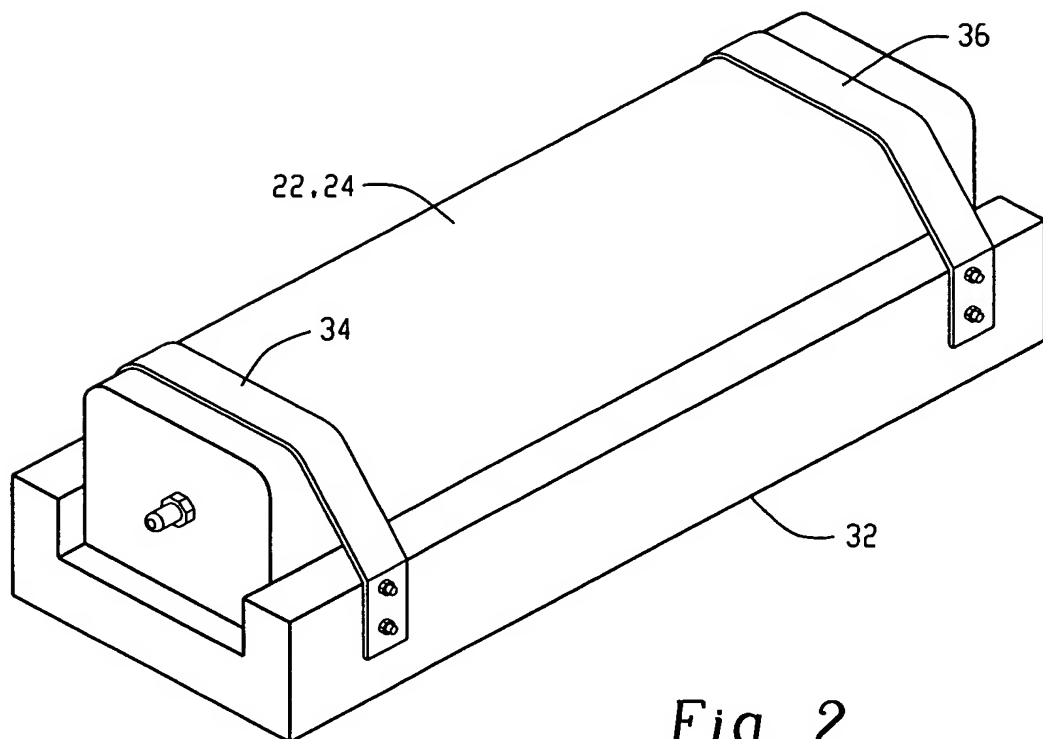


Fig. 2

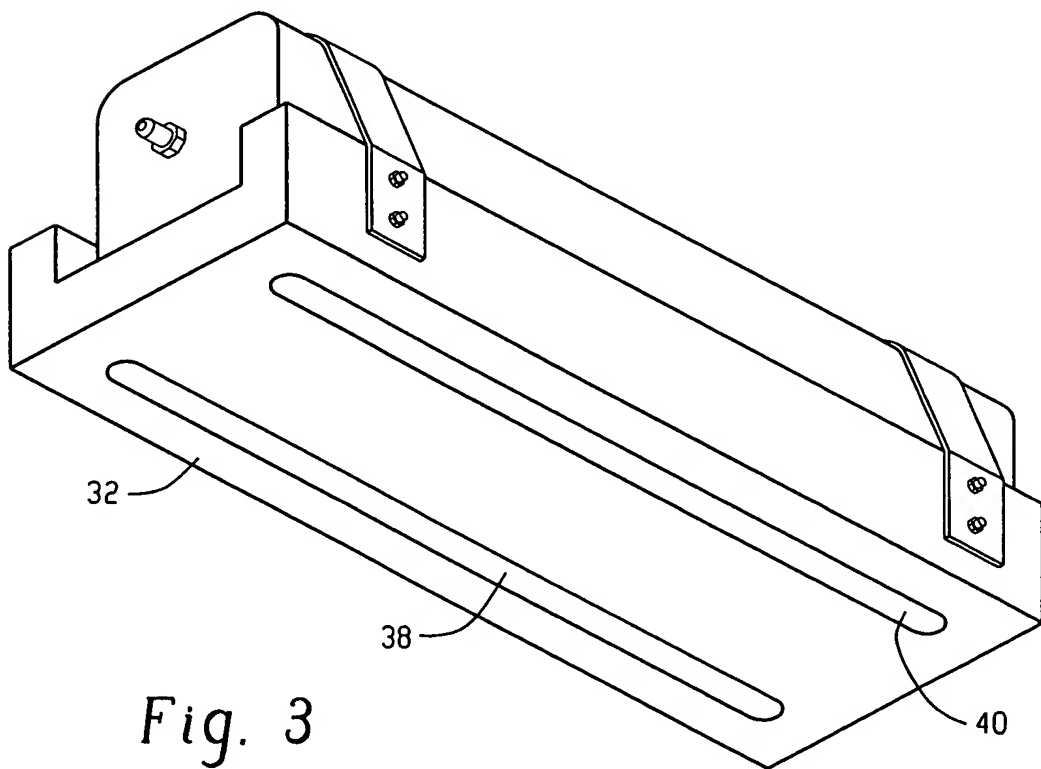


Fig. 3

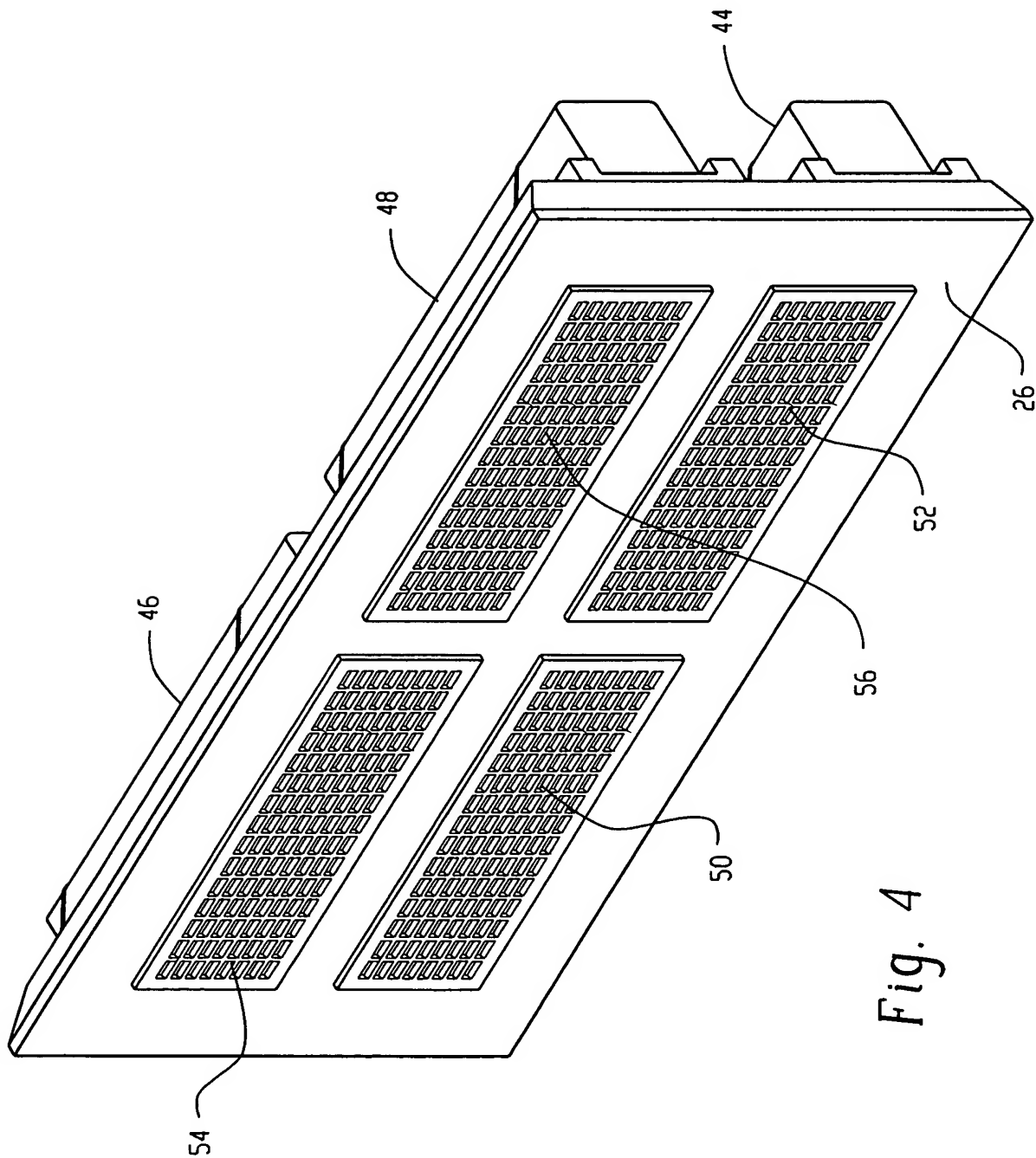


Fig. 4

4/23

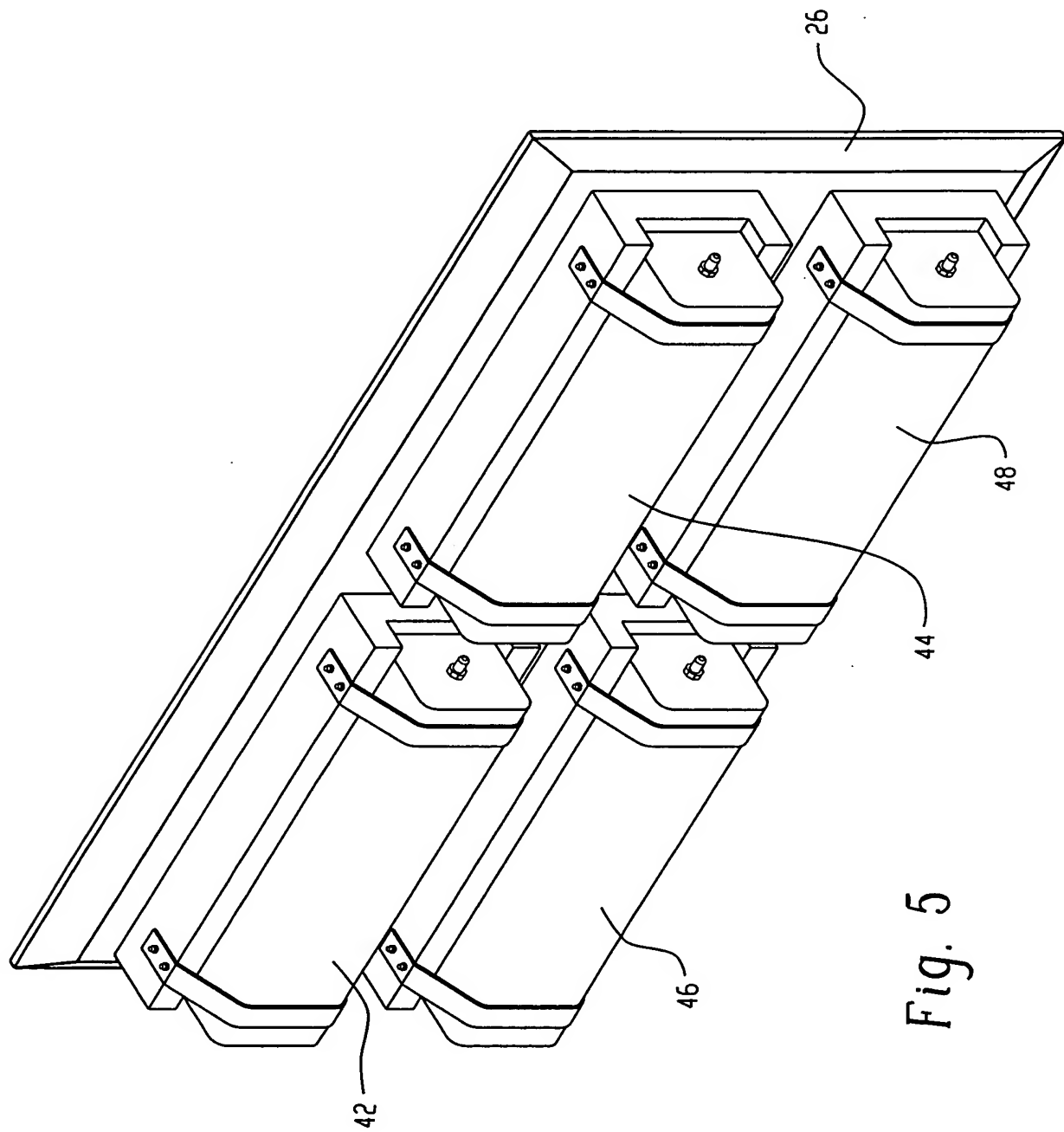


Fig. 5

5/23

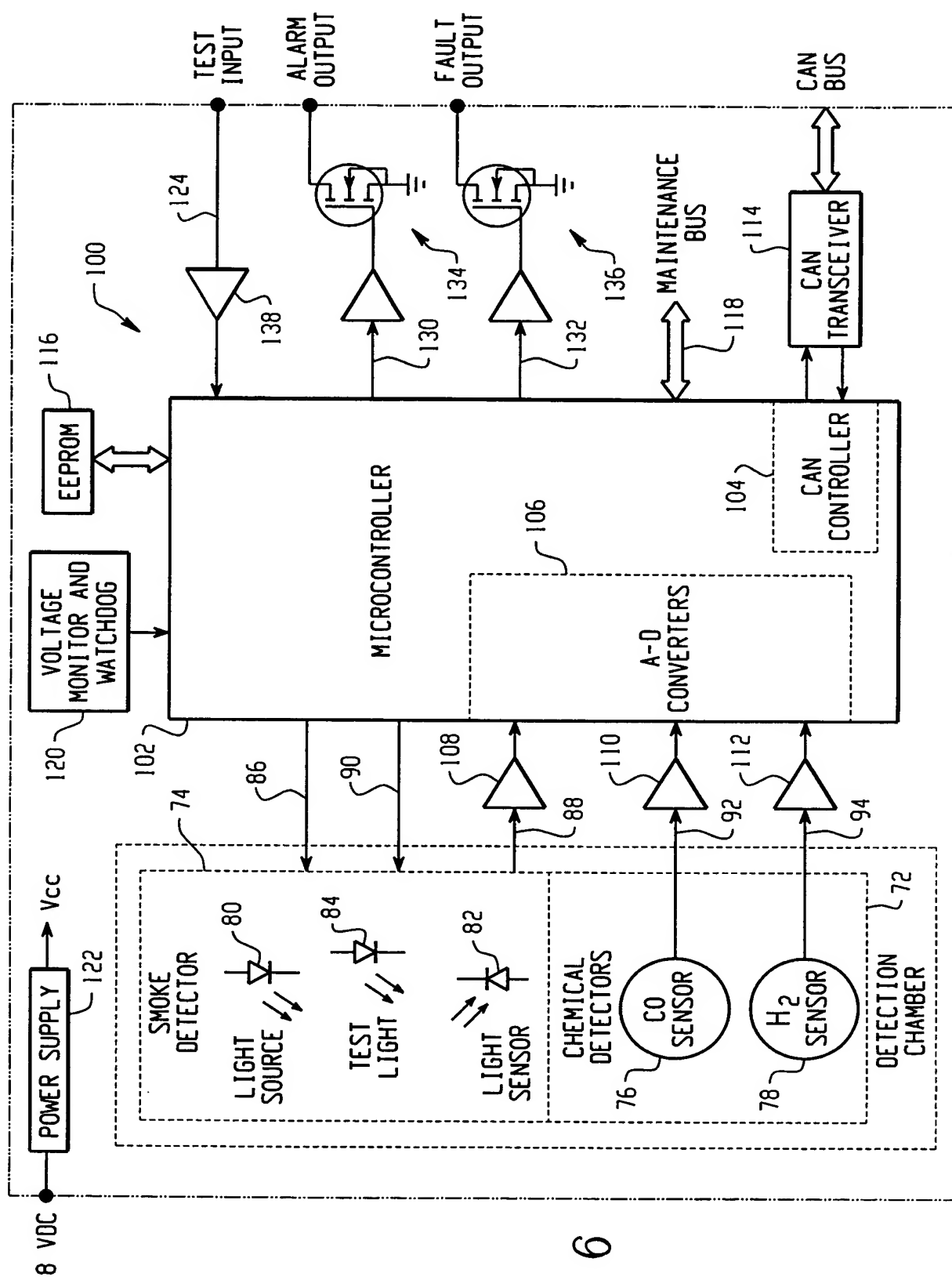


Fig. 6

6/23

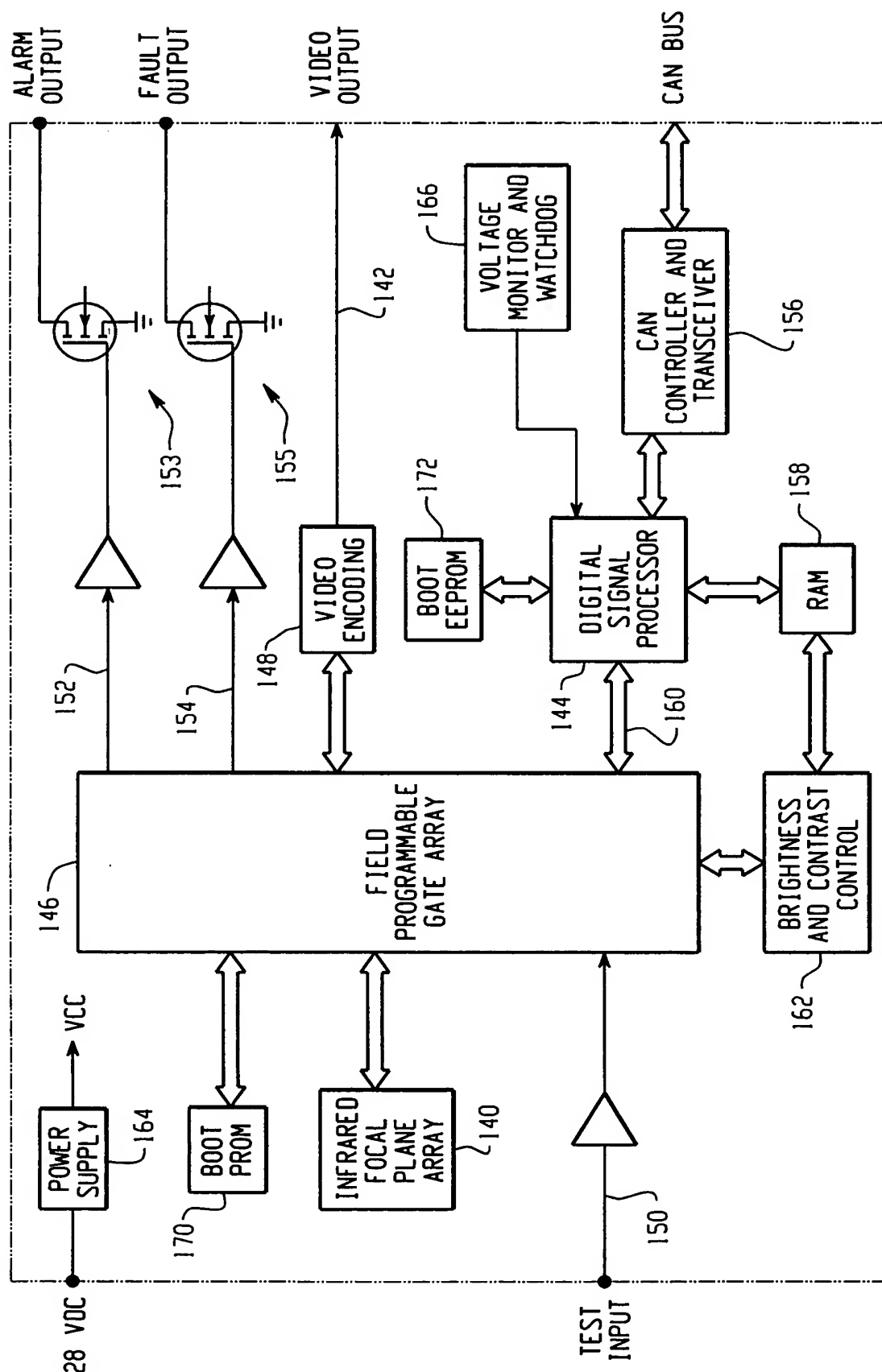


Fig. 7

7/23

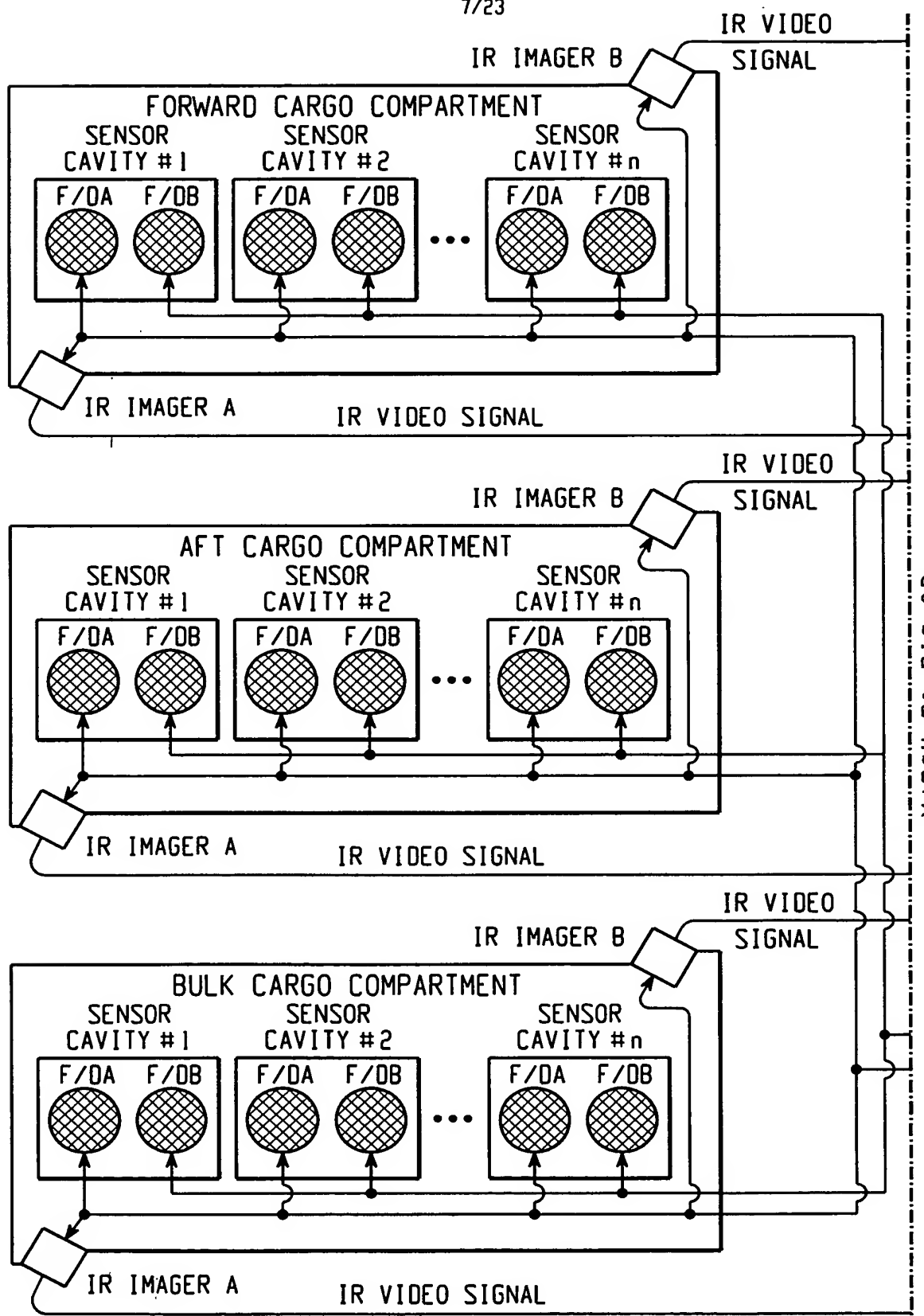
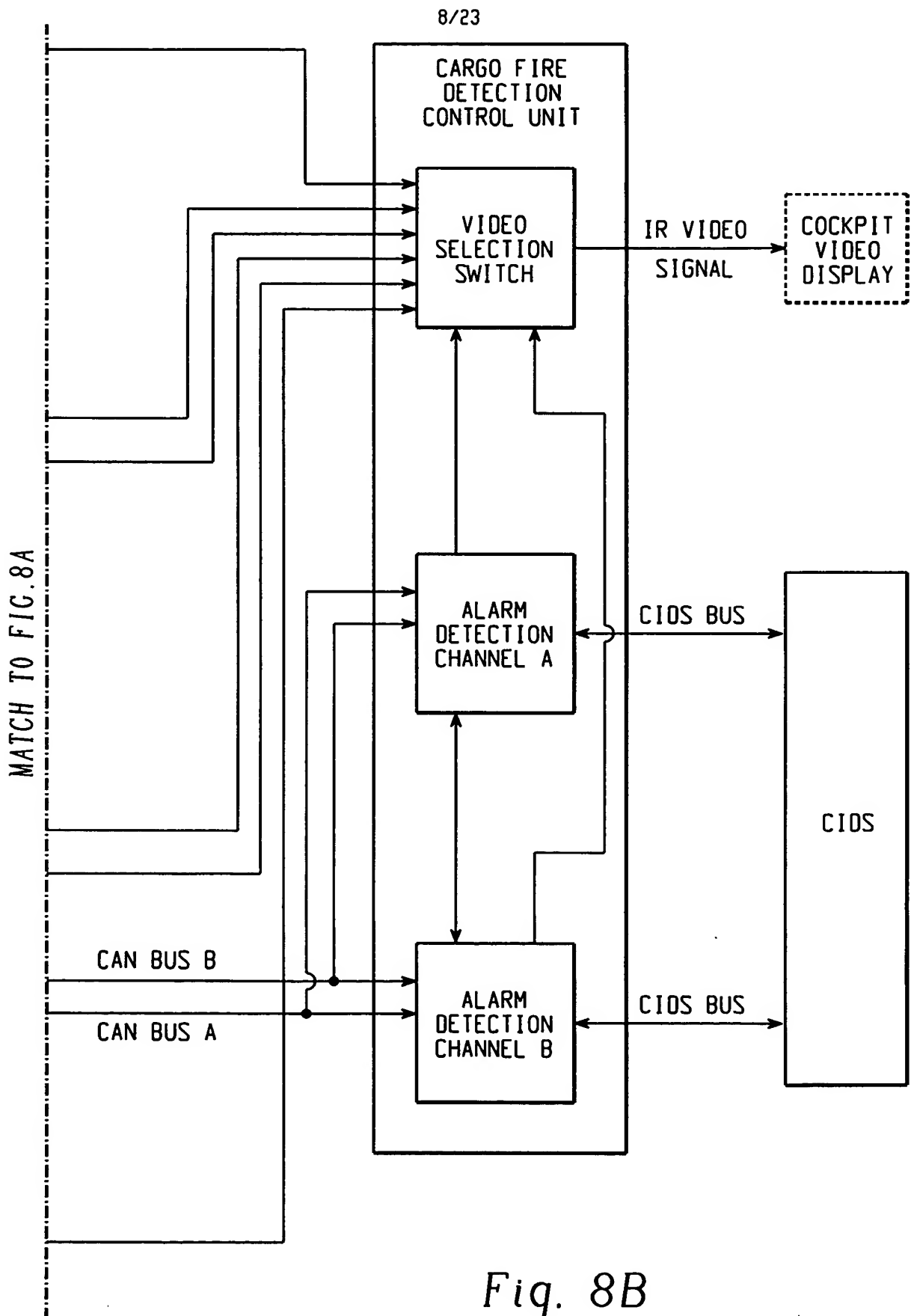


Fig. 8A



9/23

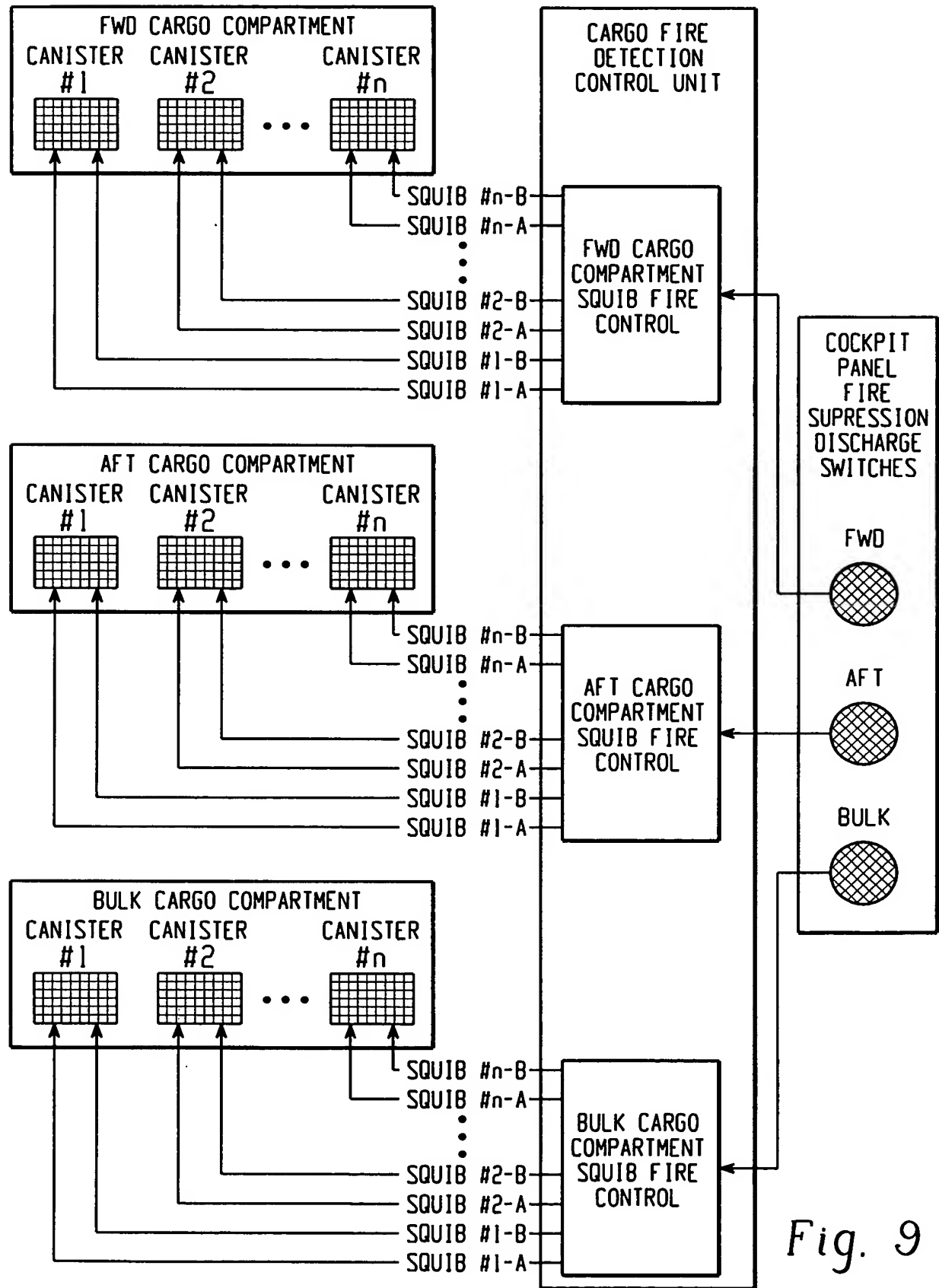


Fig. 9

10/23

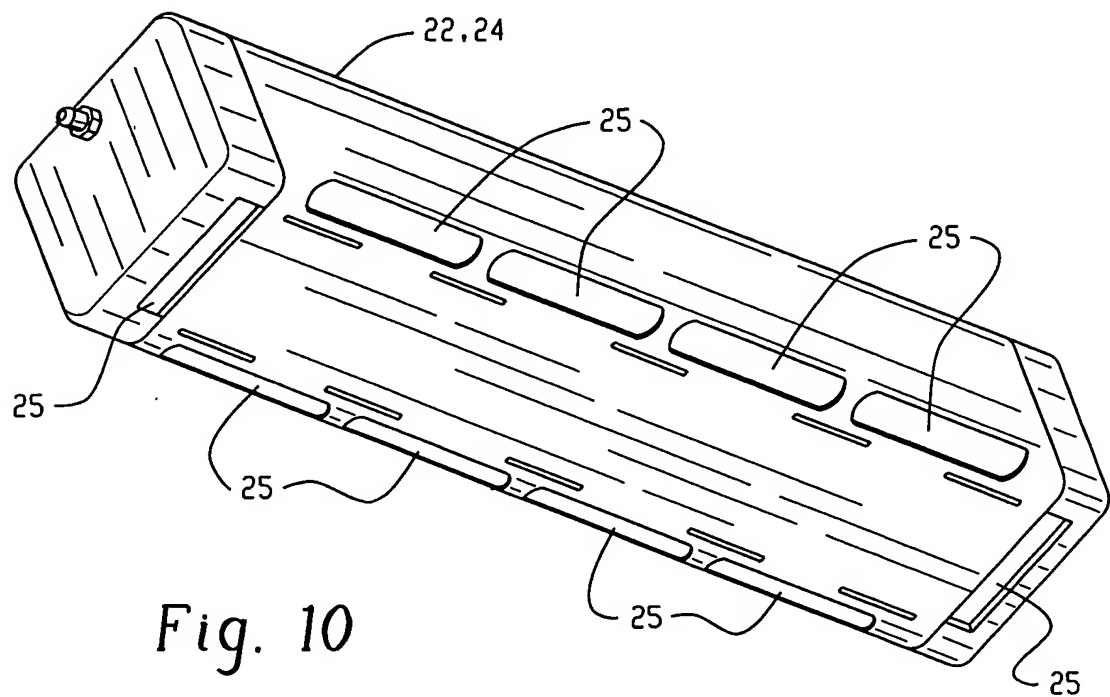


Fig. 10

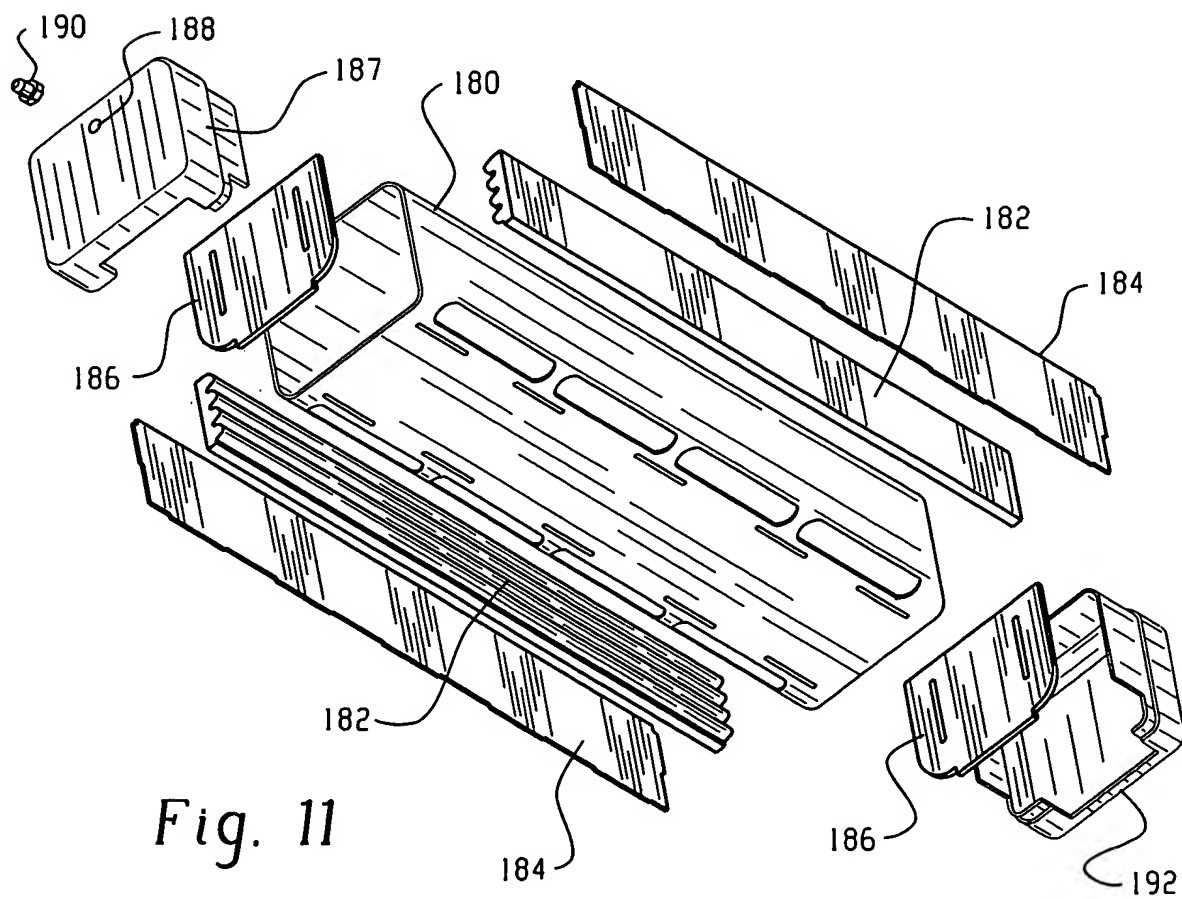


Fig. 11

11/23

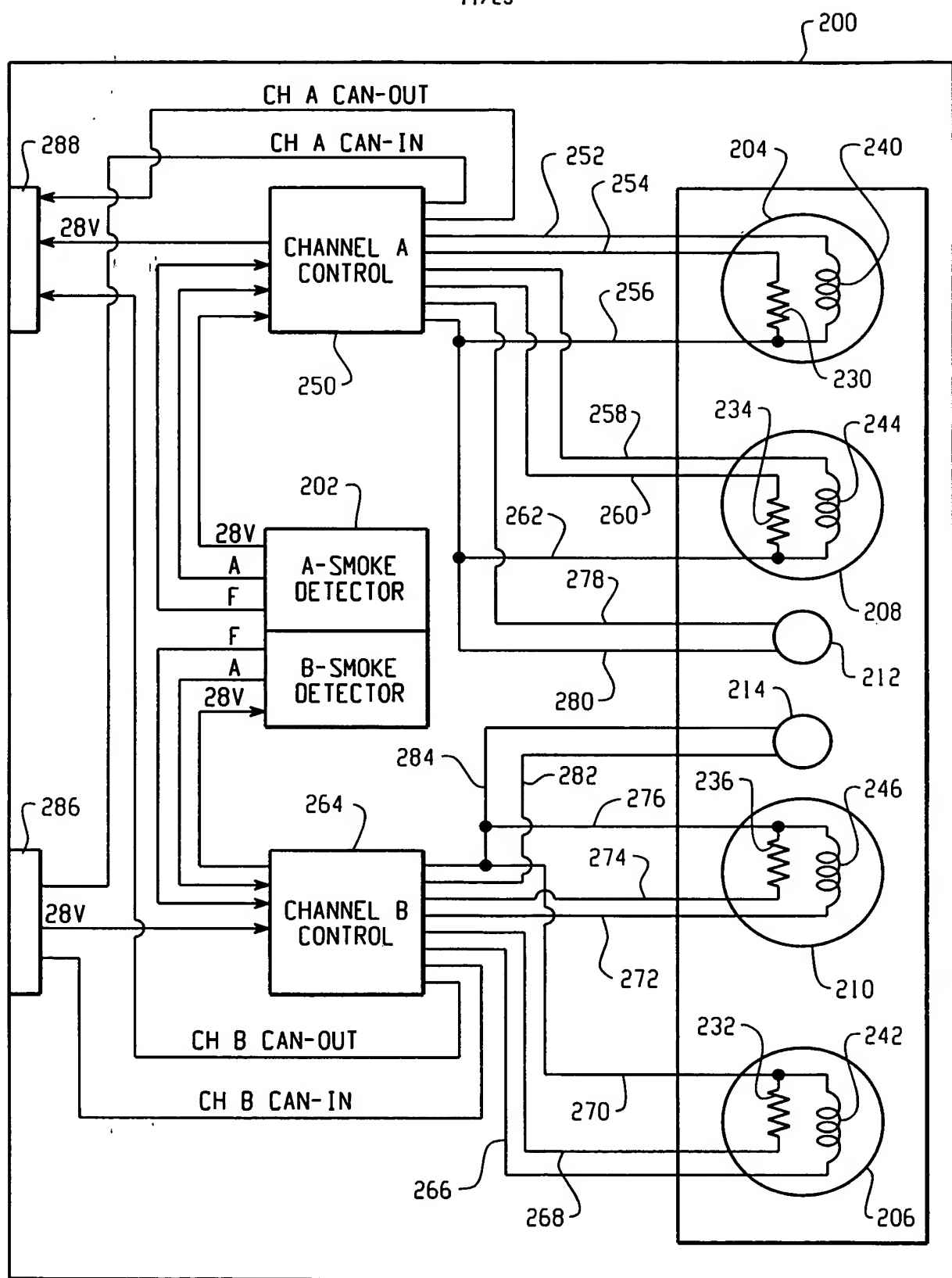


Fig. 12

12/23

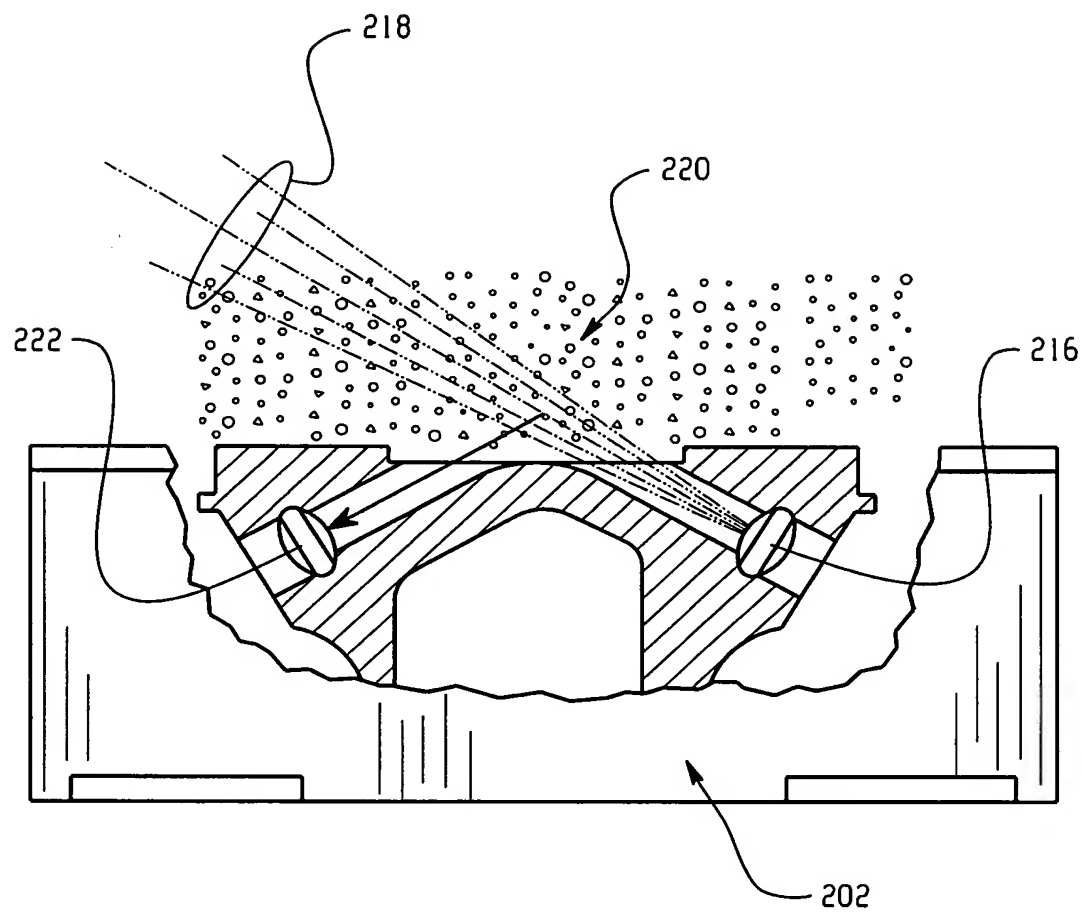


Fig. 13

13/23

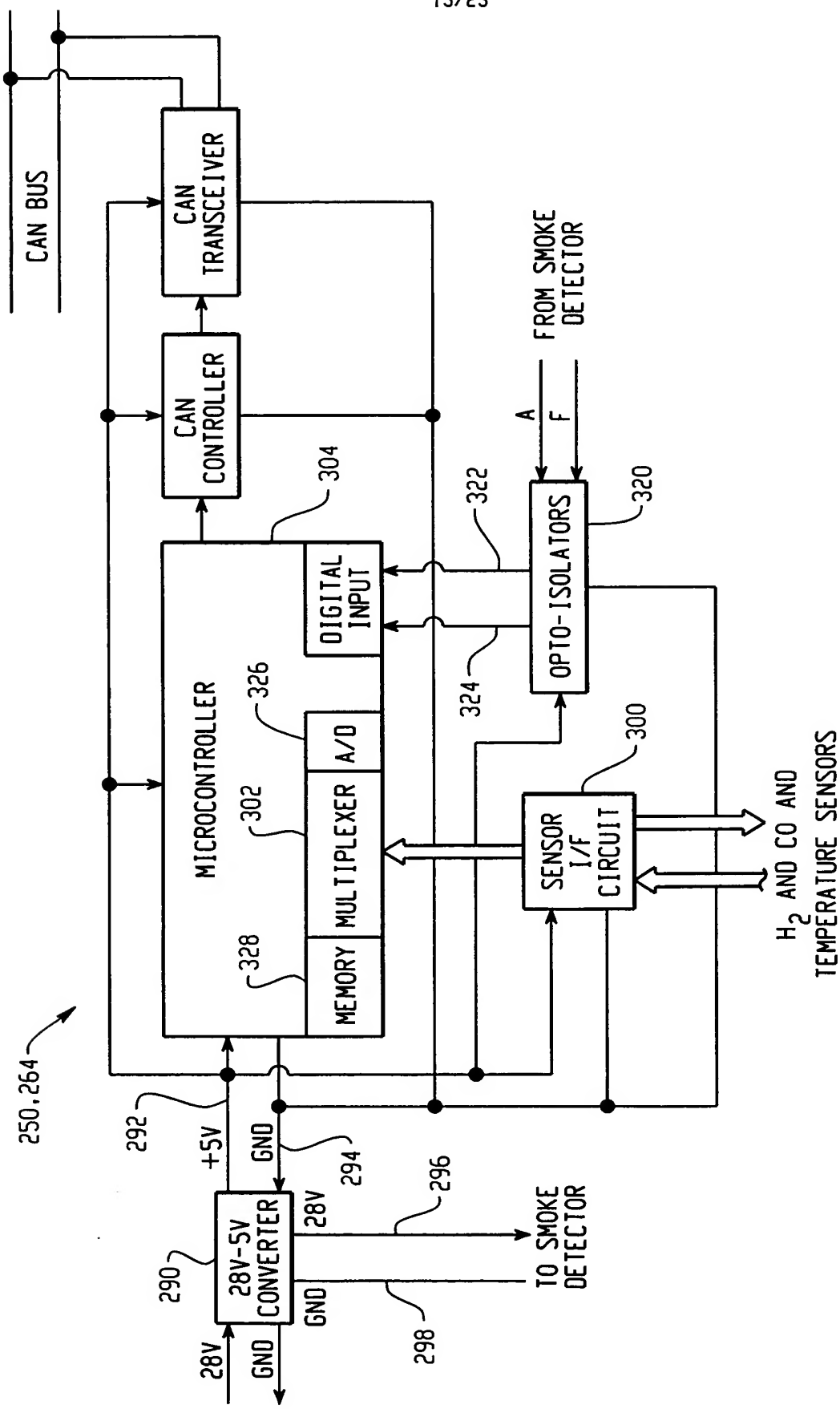


Fig. 14

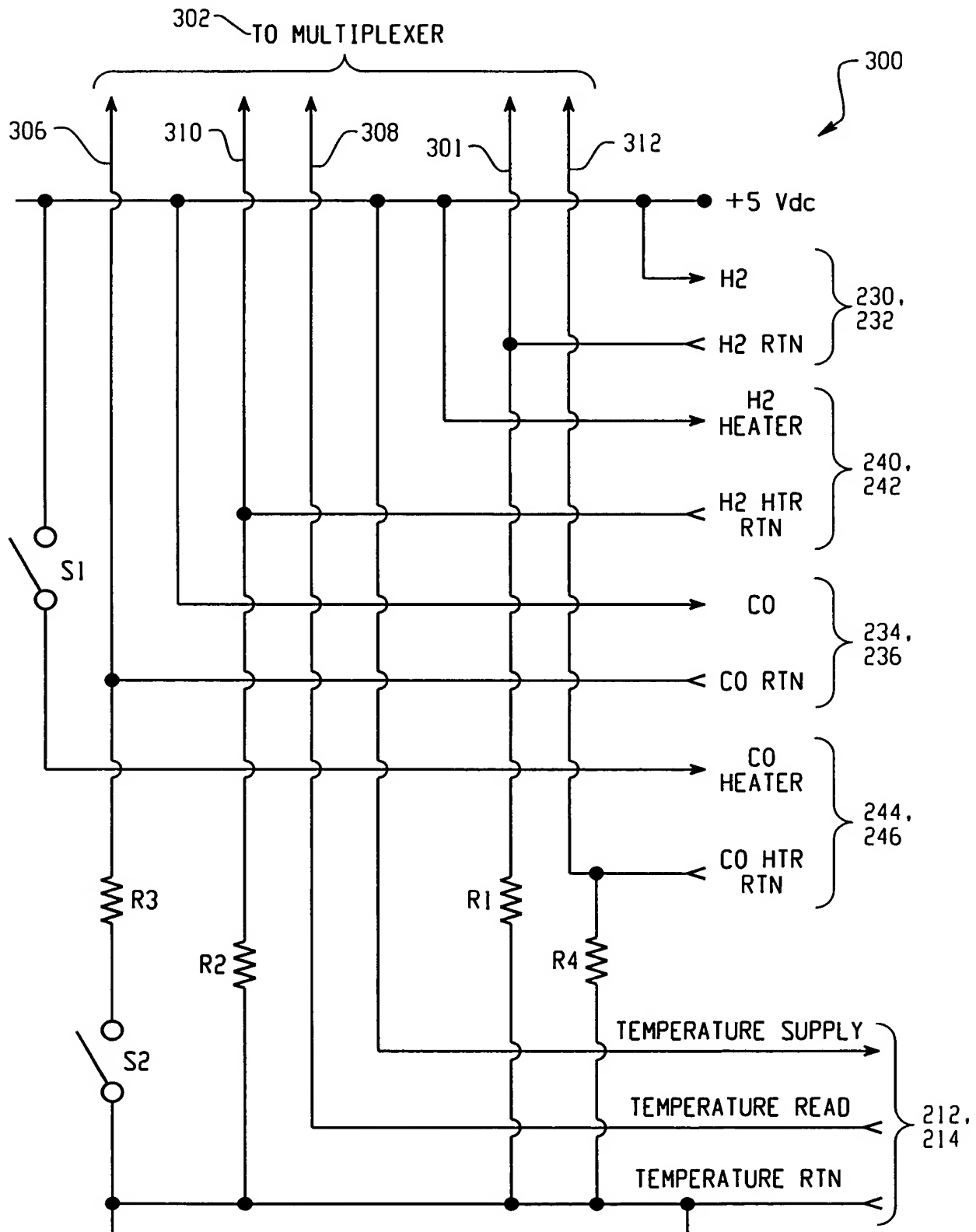


Fig. 15A

15/23

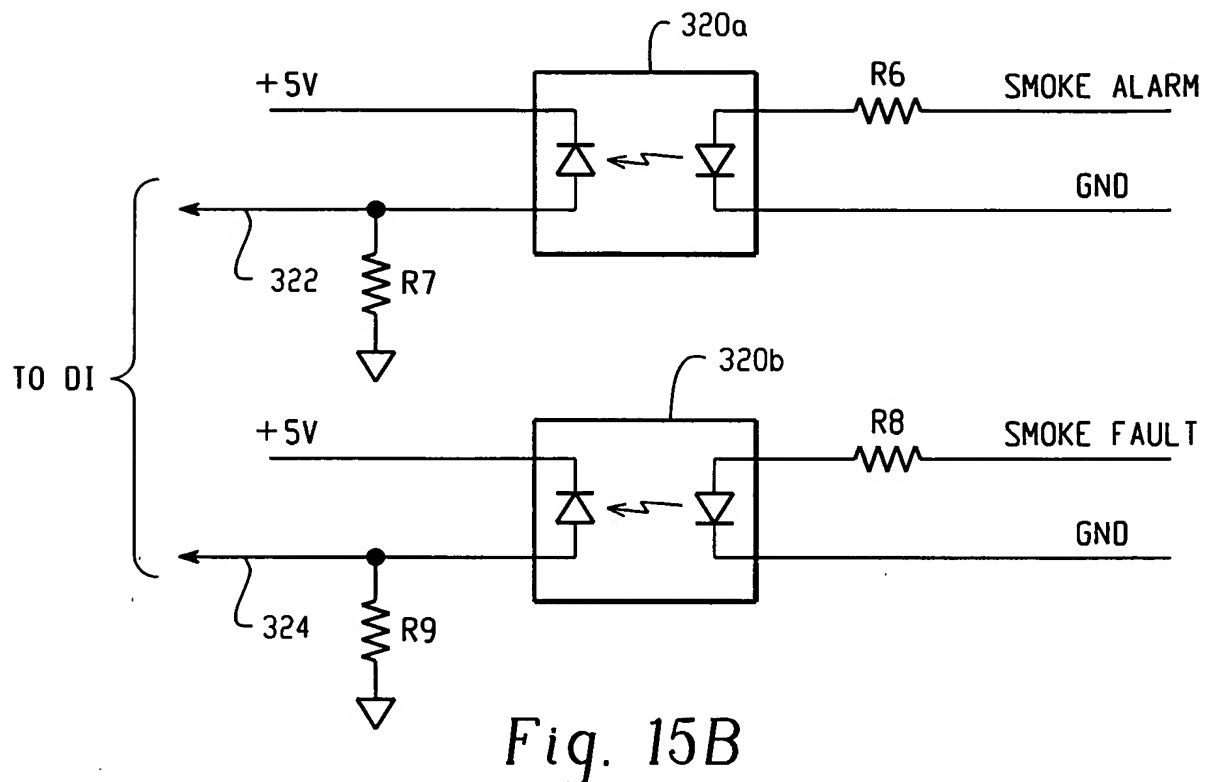


Fig. 15B

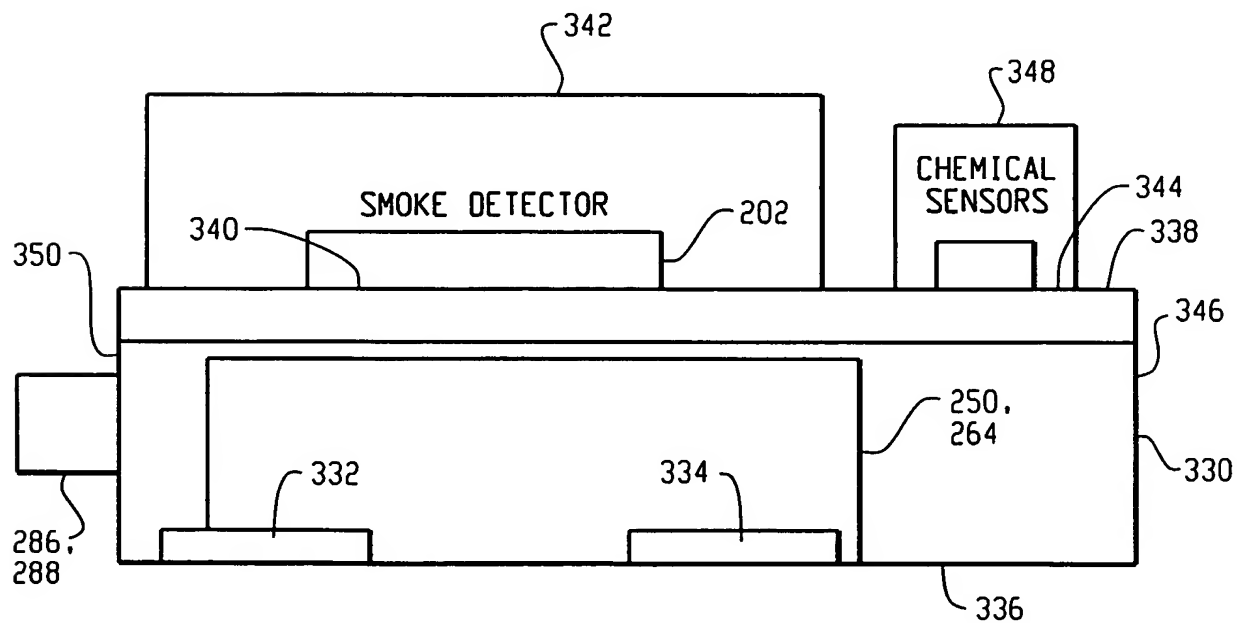


Fig. 16

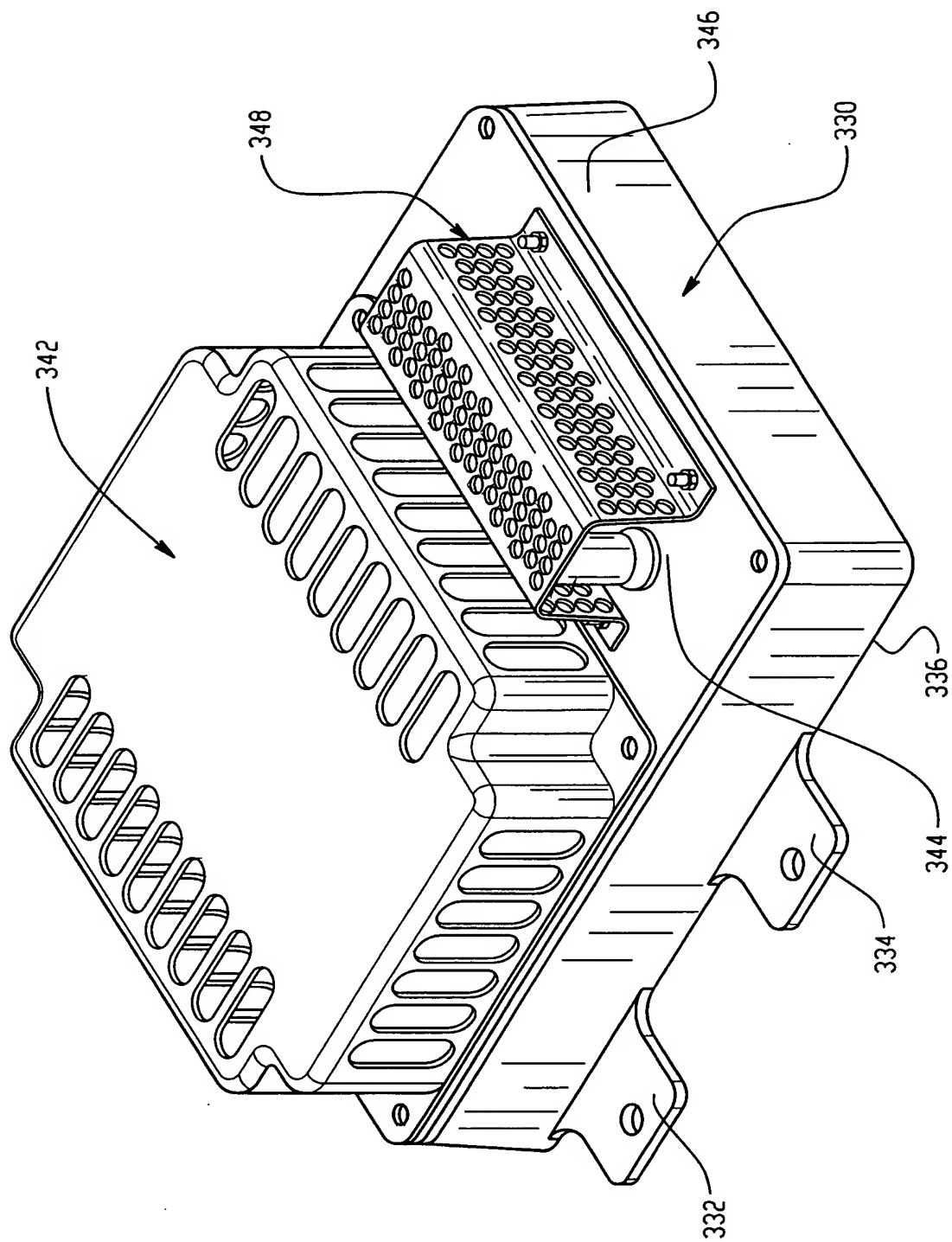


Fig. 17

17/23

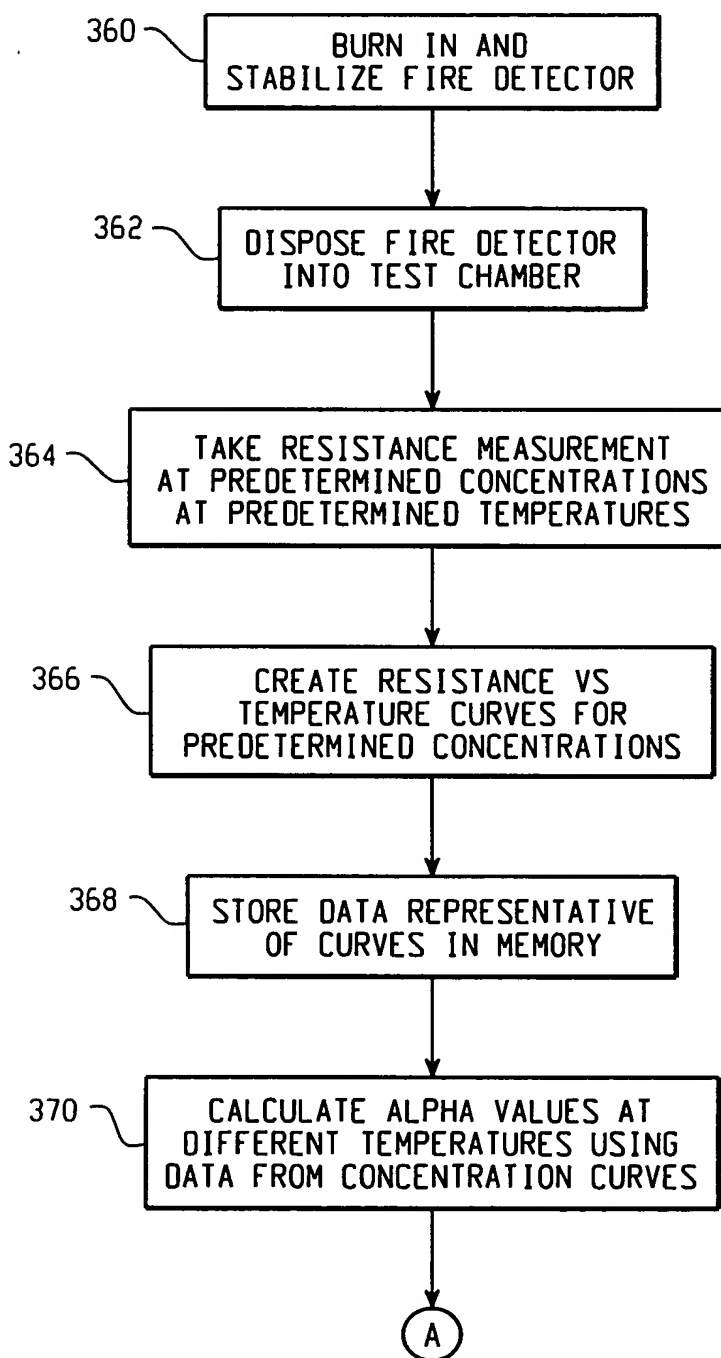


Fig. 18A

18/23

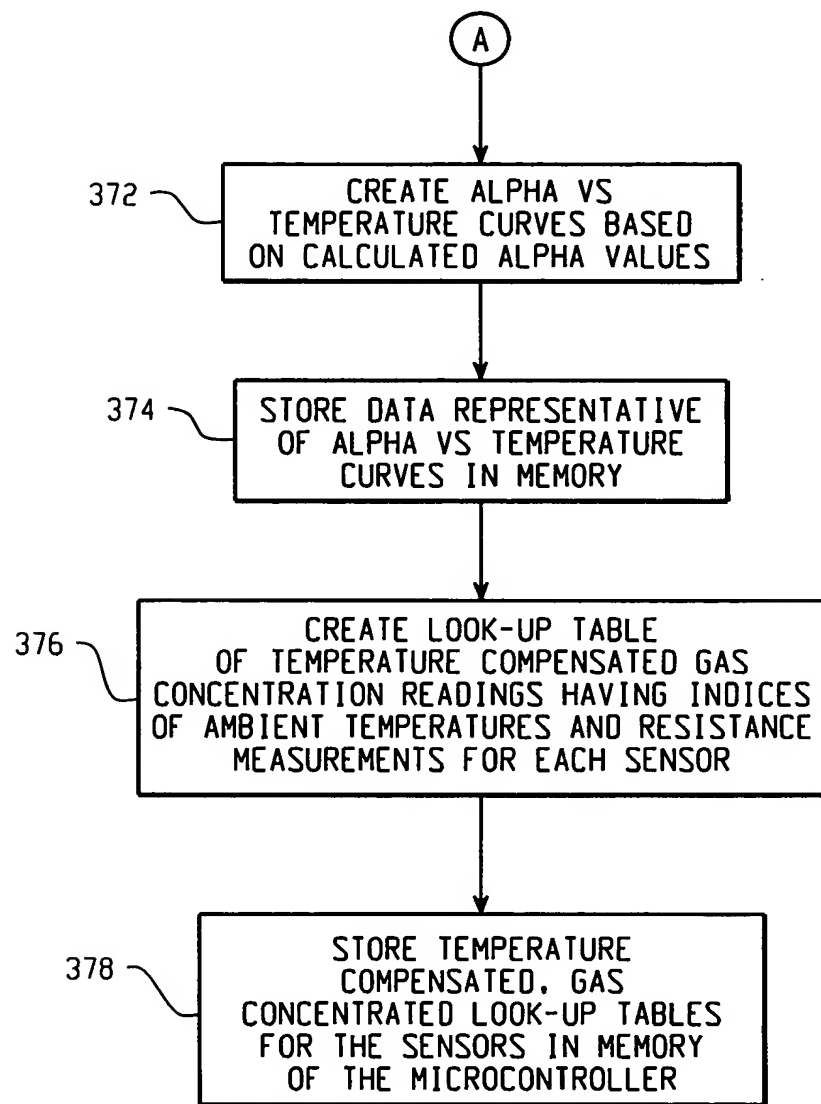


Fig. 18B

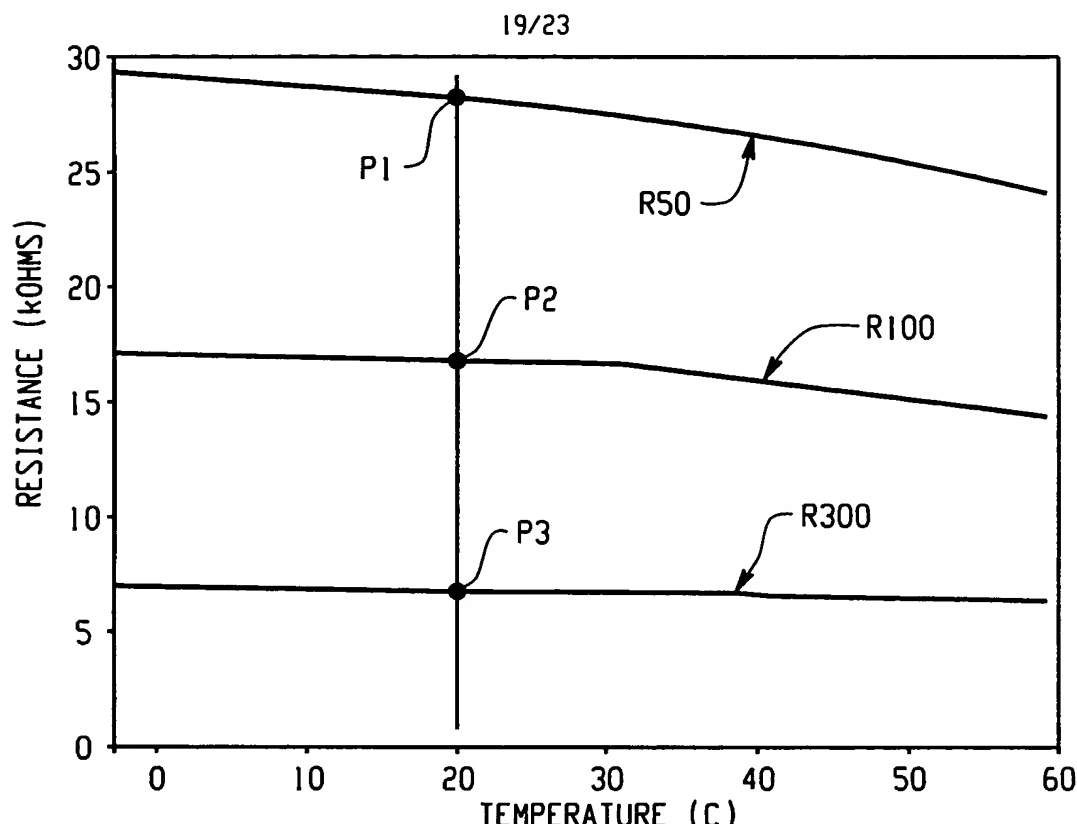


Fig. 19

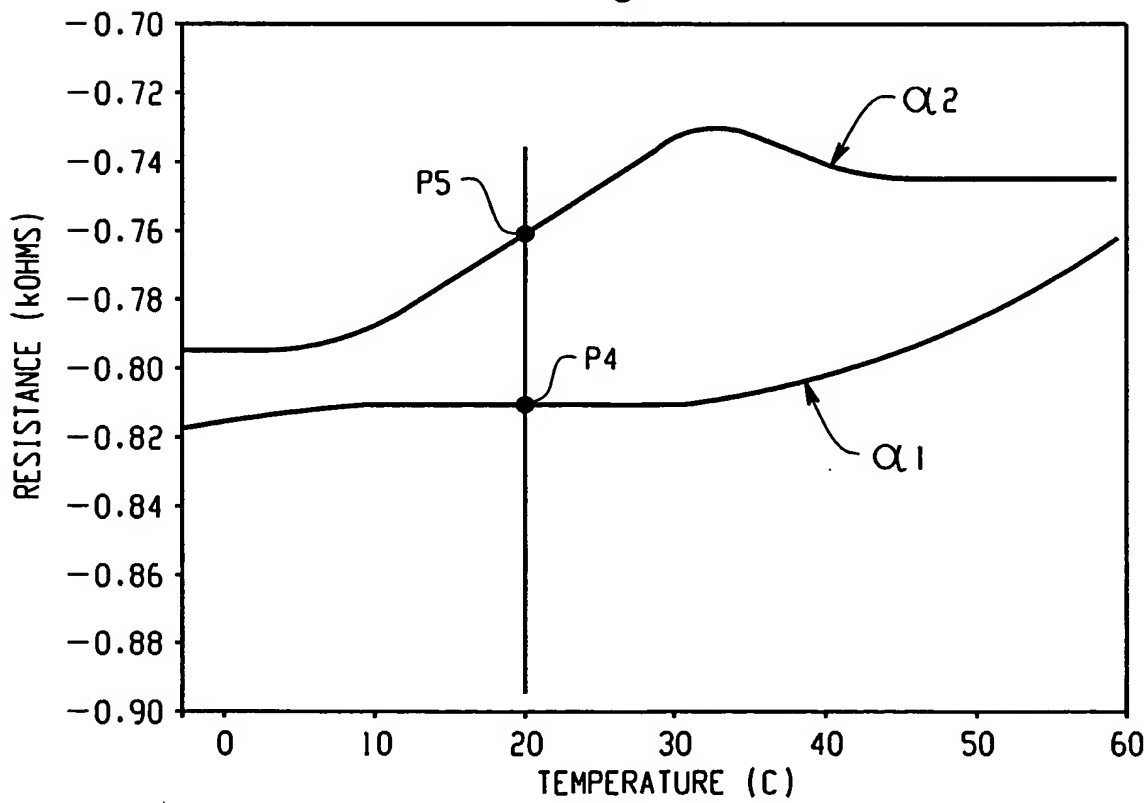


Fig. 20

20/23

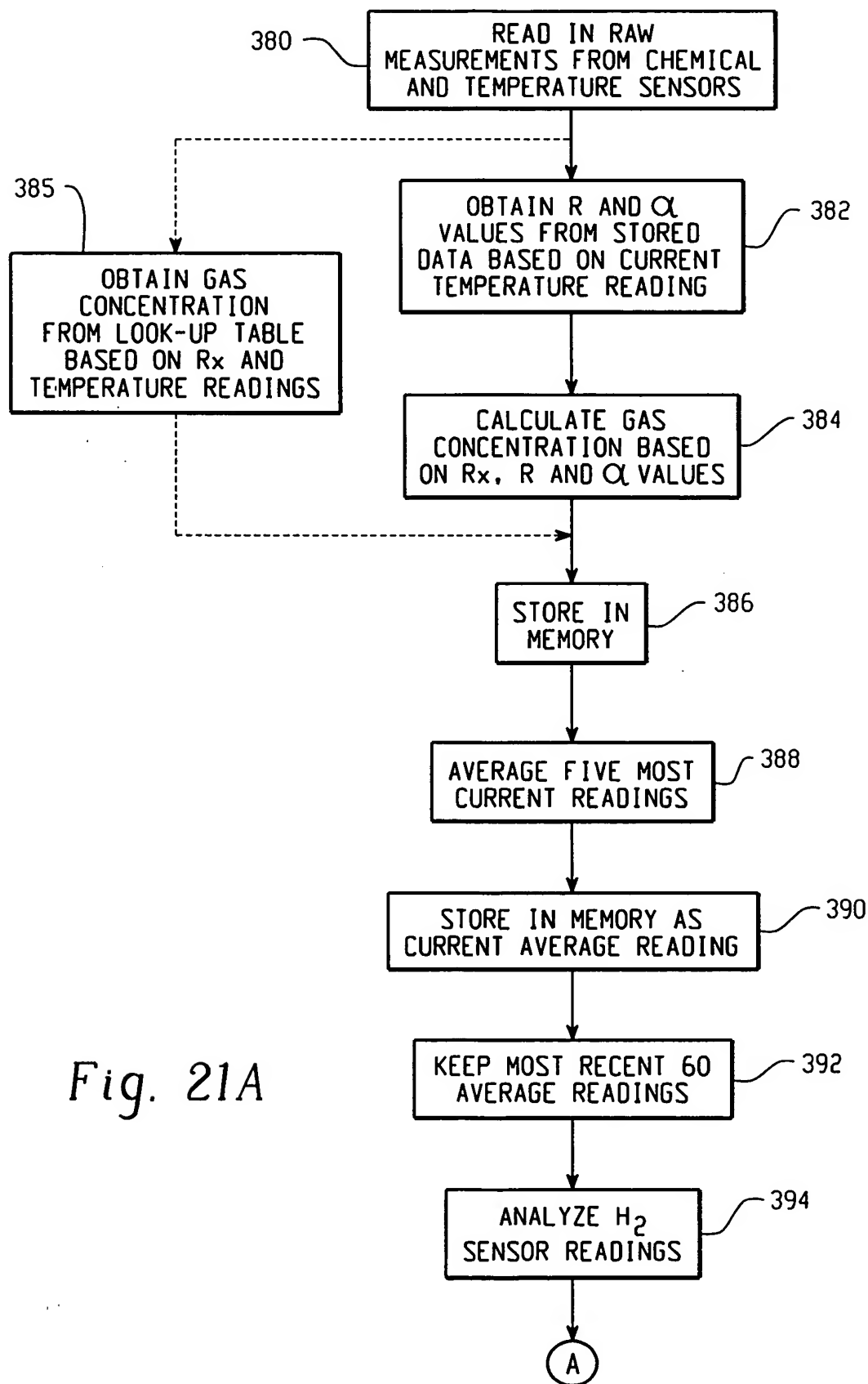


Fig. 21A

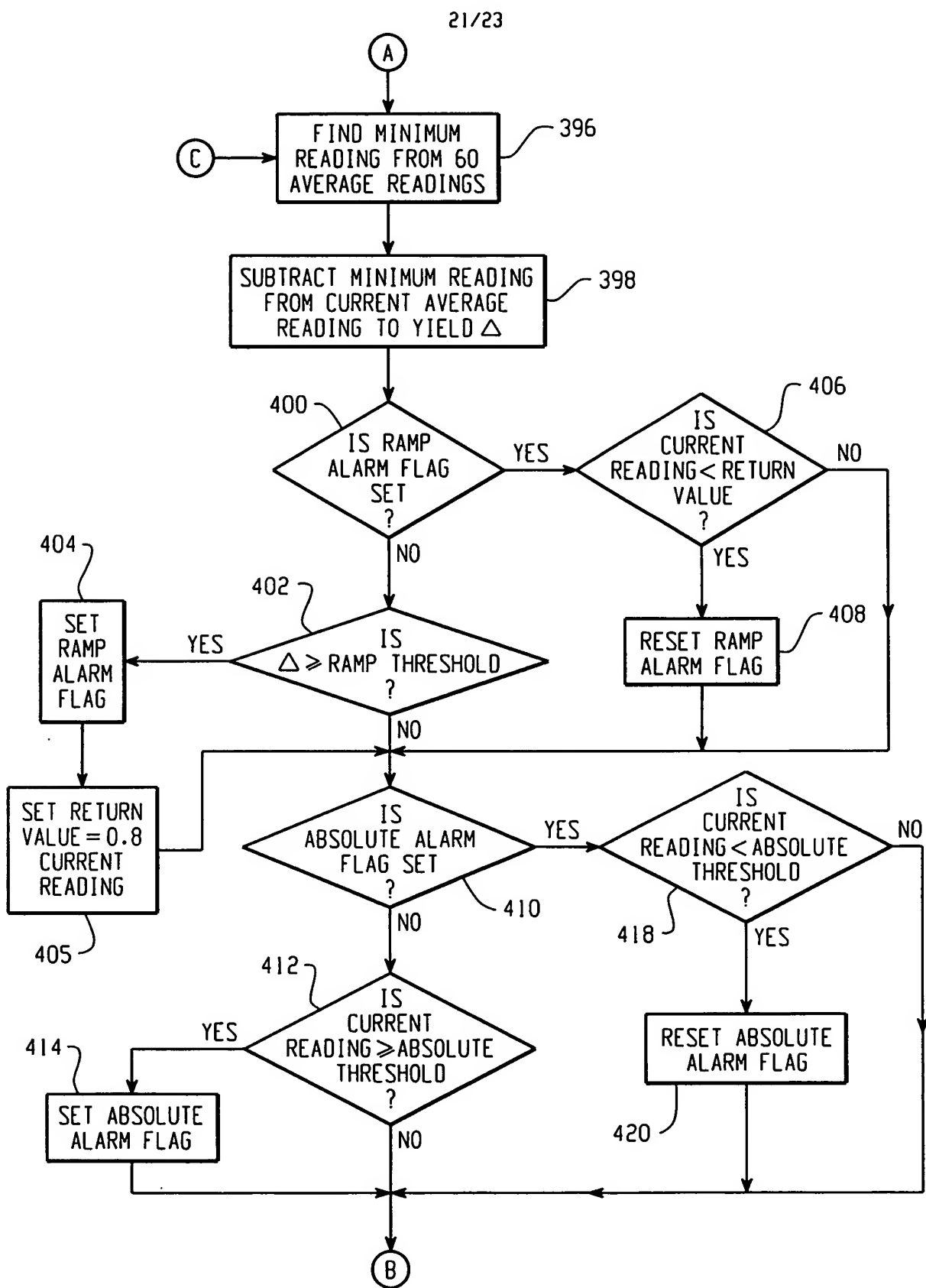


Fig. 21B

22/23

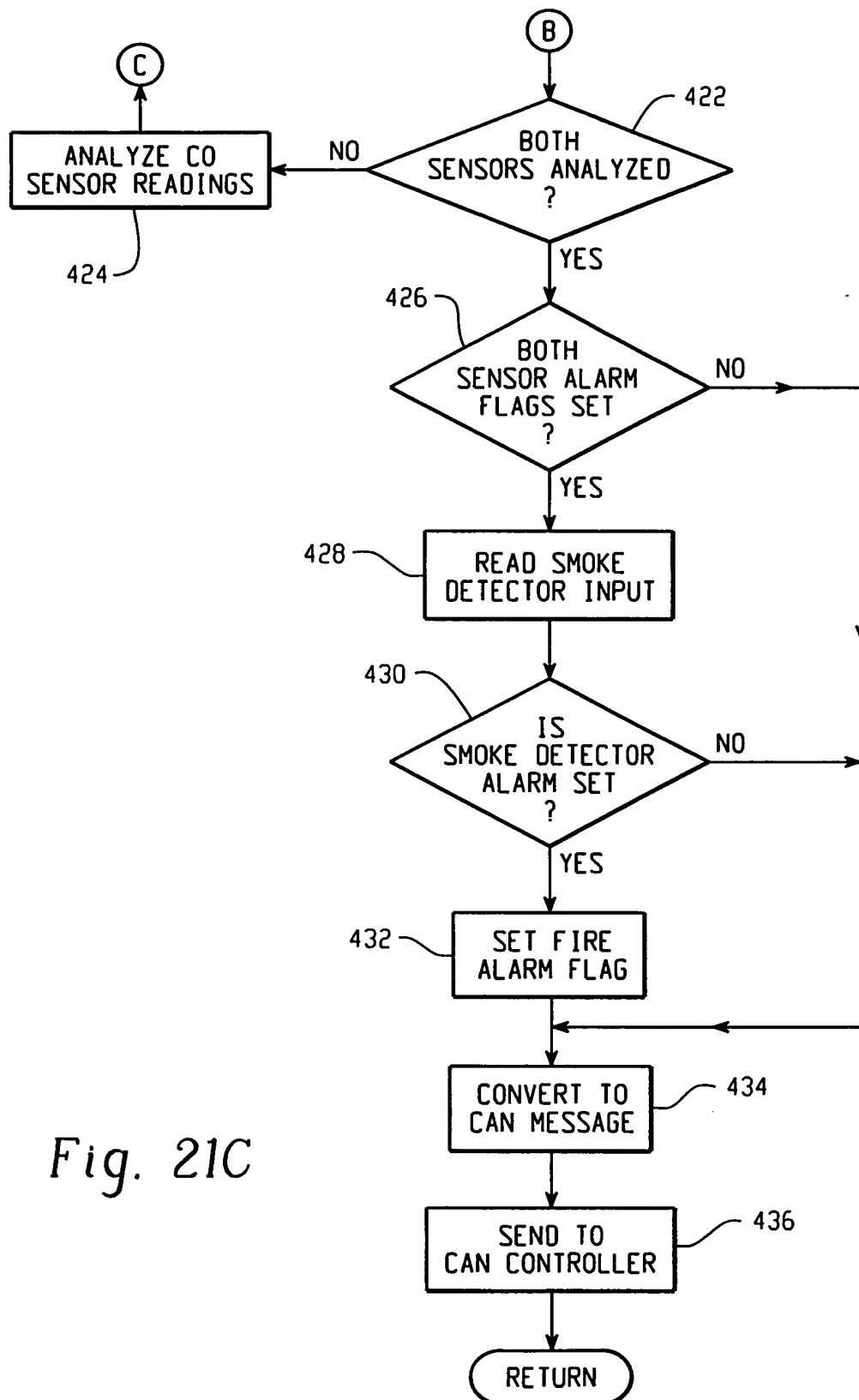


Fig. 21C

23/23

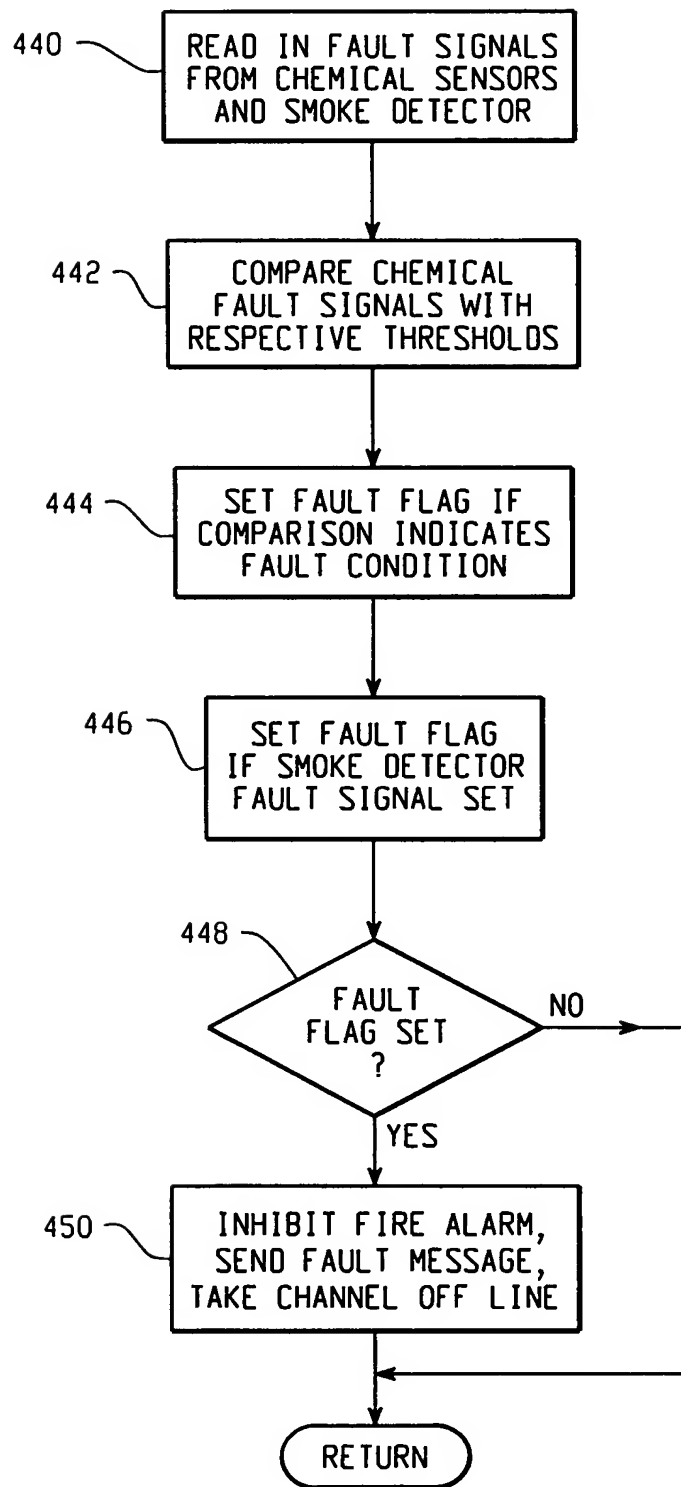


Fig. 22